

# Traitement d'images par équations aux dérivées partielles et méthodes variationnelles

Julien MILLE

M2R IGI

**25 novembre 2014**

# Applications



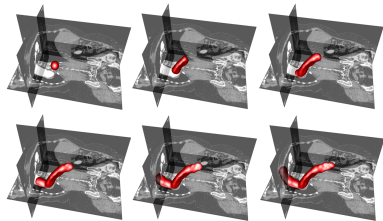
Segmentation et suivi



Estimation du mouvement



Filtrage



Reconstruction 3D

# Plan

## Des équations sur l'image...

Calcul différentiel et intégral sur les images

Equations aux dérivées partielles

Discrétisation et implémentation

## Méthodes variationnelles

Principe général

Exemple 1 : modèle de débruitage

Exemple 2 : modèle de contour actif

# Plan

## Des équations sur l'image...

Calcul différentiel et intégral sur les images

Equations aux dérivées partielles

Discrétisation et implémentation

## Méthodes variationnelles

# Image

- ▶ Modélisation continue de l'ensemble de départ (espace) et de l'ensemble d'arrivée (intensité/couleur)
- ▶ Domaine de définition (support) de l'image : un sous-domaine de  $\mathbb{R}^2$

$$\mathcal{D} \subset \mathbb{R}^2$$

- ▶ Image à valeurs scalaires (intensité = niveau de gris)

$$f : \mathcal{D} \rightarrow \mathbb{R}$$

- ▶  $f(\mathbf{p})$  = intensité en un point  $\mathbf{p} = (x, y) \in \mathcal{D}$
- ▶ Pour une image à valeurs vectorielles (couleur, souvent 3 composantes), on écrirait :

$$\begin{aligned}\mathbf{f} : \mathcal{D} &\rightarrow \mathbb{R}^3 \\ \mathbf{f}(\mathbf{p}) &= [f_1(\mathbf{p}) \ f_2(\mathbf{p}) \ f_3(\mathbf{p})]^\top\end{aligned}$$

# Image

- ▶ La fonction image est supposée continue et dérivable (au moins deux fois)
- ▶  $f$  est au moins de classe  $C^2$  sur  $\mathcal{D}$   
→ ses dérivées partielles  $\frac{\partial f}{\partial x}, \frac{\partial f}{\partial y}, \frac{\partial^2 f}{\partial x^2}, \frac{\partial^2 f}{\partial x \partial y}, \frac{\partial^2 f}{\partial y^2}$  sont toutes continues sur  $\mathcal{D}$
- ▶ Elle est intégrable sur n'importe quel sous-domaine  $\Omega$  de  $\mathcal{D}$

$$\int_{\Omega} f(\mathbf{p}) d\mathbf{p} \leq +\infty$$

# Principes et intérêt

- ▶ Modélisation de l'image comme une quantité physique continue en espace, et également en temps dans le cas d'un modèle basé sur une évolution
- ▶ Intérêt : accès aux outils mathématiques d'analyse des fonctions (dérivation, intégration, équations aux dérivées partielles, calcul des variations, etc.) et de concepts issus de la physique (diffusion, densité, énergie, etc.)
- ▶ En aval du raisonnement mathématique continu, discrétisation spatiale et temporelle pour permettre la résolution numérique et son implémentation algorithmique
- ▶ Dans ce cours, présentation du cheminement complet : des équations au code...

# Dérivation : premier ordre

- Dérivées partielles d'ordre 1, gradient

$$\nabla f = \begin{bmatrix} \frac{\partial f}{\partial x} & \frac{\partial f}{\partial y} \end{bmatrix}^T$$

- Le gradient donne la direction et l'amplitude de variation de l'image (analogie avec la pente d'un relief)
- Sa norme donne l'amplitude de variation → utilisée pour la détection des contours

$$\|\nabla f\| = \sqrt{\left(\frac{\partial f}{\partial x}\right)^2 + \left(\frac{\partial f}{\partial y}\right)^2}$$

- Dérivée directionnelle selon un vecteur  $\mathbf{u}$

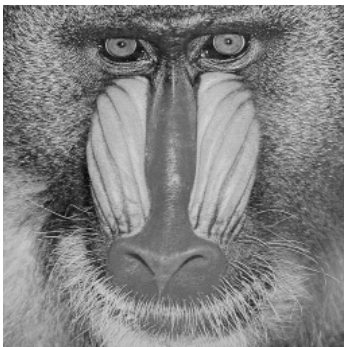
$$\begin{aligned} \nabla_{\mathbf{u}} f(\mathbf{p}) &= \left. \frac{df(\mathbf{p} + \epsilon \mathbf{u})}{d\epsilon} \right|_{\epsilon=0} \\ &= \nabla f \cdot \mathbf{u} \end{aligned}$$

où  $\cdot$  est le produit scalaire



# Détection de contours

- ▶ Exemple de traitement basique : détection de contours par calcul de la norme du gradient



$f$



$\|\nabla f\|$

- ▶ En pratique, lissage préalable

## Dérivation : second ordre

- ▶ Dérivées partielles d'ordre 2, laplacien, hessienne...
- ▶ Hessienne  $\mathbf{H}$  : matrice des dérivées partielles d'ordre 2

$$\mathbf{H}_f = \begin{bmatrix} \frac{\partial^2 f}{\partial x^2} & \frac{\partial^2 f}{\partial x \partial y} \\ \frac{\partial^2 f}{\partial x \partial y} & \frac{\partial^2 f}{\partial y^2} \end{bmatrix}$$

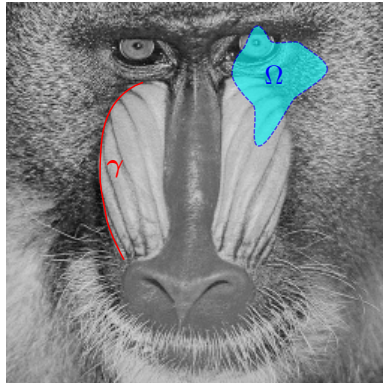
- ▶ Laplacien  $\nabla^2$  (noté également  $\Delta$ )

$$\nabla^2 f = \frac{\partial^2 f}{\partial x^2} + \frac{\partial^2 f}{\partial y^2}$$

- ▶  $\mathbf{H}_f(\mathbf{p})$  et  $\nabla^2 f(\mathbf{p})$  sont calculables en tout point  $\mathbf{p}$

# Intégration

- ▶ Intégration d'un terme dépendant de l'image sur un sous-ensemble du domaine image  $\mathcal{D}$
- ▶ Le long d'une courbe  $\gamma$ , sur une région (sous-domaine)  $\Omega$ , ...



# Intégration

- ▶ Exemple 1 : moyenne et variance d'intensité sur une région  $\Omega$

$$\mu[\Omega] = \frac{1}{|\Omega|} \int_{\Omega} f(\mathbf{p}) d\mathbf{p}$$

$$\sigma^2[\Omega] = \frac{1}{|\Omega|} \int_{\Omega} (f(\mathbf{p}) - \mu[\Omega])^2 d\mathbf{p}$$

$\rightarrow \sigma^2$  mesure l'hétérogénéité d'une région (beaucoup d'intensités différentes ?)

- ▶ Exemple 2 : amplitude du gradient le long d'une courbe  $\gamma : [0, 1] \rightarrow \mathcal{D}$

$$g[\gamma] = \int_0^1 \|\nabla f(\gamma(s))\| \left\| \frac{d\gamma}{ds} \right\| ds$$

$\rightarrow g$  mesure l'adéquation de la courbe aux contours présents dans l'image

# Plan

## Des équations sur l'image...

Calcul différentiel et intégral sur les images

**Equations aux dérivées partielles**

Discrétisation et implémentation

## Méthodes variationnelles

# Equation aux dérivées partielles

- ▶ Application d'**équations aux dérivées partielles** (EDP) au traitement d'images : l'image ou une ou plusieurs fonctions associées sont soumises à des lois physiques modélisées sous forme d'équations d'évolution
- ▶ Introduction de la dimension temporelle  $t$
- ▶ Schéma général :

$$\frac{\partial f(\mathbf{p}, t)}{\partial t} = \dots$$

où le membre de droite représente l'évolution de la fonction  $f$  en chaque point au cours du temps

- ▶ Equation accompagnée de condition(s) initiale(s) : l'image initiale (à  $t = 0$ ) est donnée

$$f(\mathbf{p}, 0) = f_0(\mathbf{p})$$

- ▶ Résolution numérique et itérative, avec critère d'arrêt (seuil sur la variation, nombre d'itérations fixé, etc.)

# Equation de diffusion de chaleur

- ▶ Exemple 1 d'EDP : équation de diffusion de la chaleur

$$\frac{\partial f}{\partial t} = \nabla^2 f$$

- ▶ Appliquer itérativement cette équation revient à effectuer des lissages laplaciens successifs

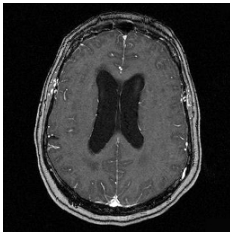


Image initiale

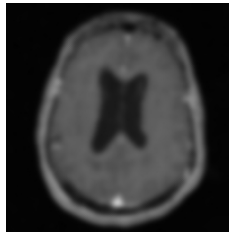
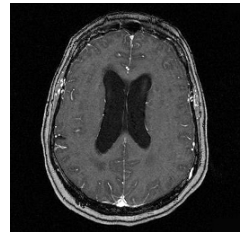


Image finale



Evolution

# Equation de diffusion de chaleur

- Utilisation : débruitage (inconvenient : dégradation des contours)

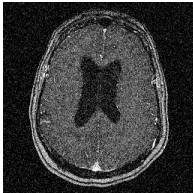


Image initiale  
(+ bruit gaussien)

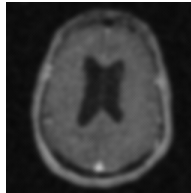
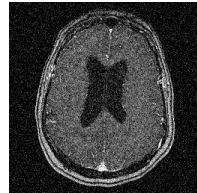


Image finale



Evolution

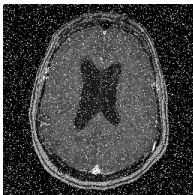


Image initiale  
(+ bruit impulsionnel)

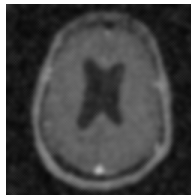


Image finale



Evolution



## Equation de diffusion anisotrope

- ▶ Exemple 2 d'EDP : équation de diffusion anisotrope

$$\frac{\partial f}{\partial t} = \nabla c \cdot \nabla f + c \nabla^2 f$$

où  $c$  est le coefficient de diffusion (décroissant avec l'amplitude du gradient)

$$c(\mathbf{p}, t) = \frac{1}{1 + \|\nabla f(\mathbf{p}, t)\|}$$

- ▶ Appliquer itérativement cette équation revient à effectuer des lissages successifs, avec conservation des contours saillants

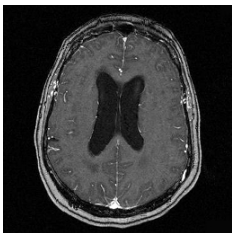


Image initiale

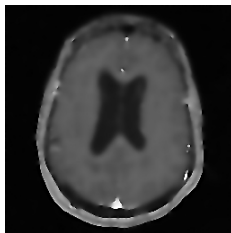
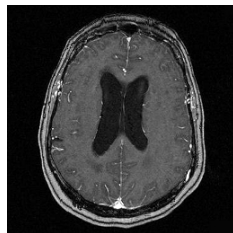


Image finale



Evolution

# Equation de diffusion anisotrope

- Utilisation : débruitage avec préservation des contours saillants

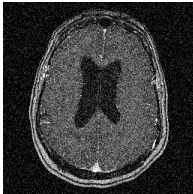


Image initiale  
(+ bruit gaussien)

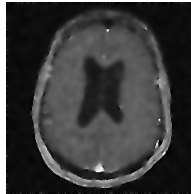
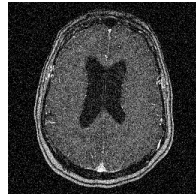


Image finale



Evolution

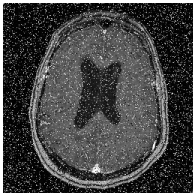


Image initiale  
(+ bruit impulsionnel)

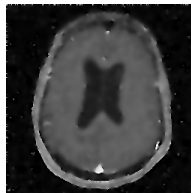
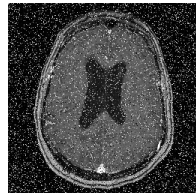


Image finale



Evolution

# Plan

## Des équations sur l'image...

Calcul différentiel et intégral sur les images

Equations aux dérivées partielles

Discretisation et implémentation

## Méthodes variationnelles

# Différences finies

- ▶ Rappel de la définition de la dérivée partielle (ordre 1) :

$$\frac{\partial f(x_0, y_0)}{\partial x} = \lim_{h \rightarrow 0} \frac{f(x_0 + h, y_0) - f(x_0, y_0)}{h}$$

- ▶ Une différence finie est une approximation de la dérivée
- ▶ Trois schémas de discrétisation possibles (par rapport à  $x$ , dans cet exemple)
  - ▶ Différence finie arrière (à gauche) :

$$f(x, y) - f(x - 1, y)$$

- ▶ Différence finie avant (à droite) :

$$f(x + 1, y) - f(x, y)$$

- ▶ Différence finie centrée :

$$\frac{f(x + 1, y) - f(x - 1, y)}{2}$$

# Différences finies

- Rappel de la définition de la dérivée partielle (ordre 2) :

$$\frac{\partial^2 f(x_0, y_0)}{\partial x^2} = \lim_{h \rightarrow 0} \frac{f(x_0 + h, y_0) - 2f(x_0, y_0) + f(x_0 - h, y_0)}{h^2}$$

- Pour la discrétisation de la dérivée seconde, on utilise généralement la différence finie centrée :

$$\frac{\partial^2 f(x, y)}{\partial x^2} \approx f(x + 1, y) - 2f(x, y) + f(x - 1, y)$$

(idem par rapport à  $y$ )

- Pour la dérivée croisée, deux différences finies centrées d'ordre 1 :

$$\frac{\partial^2 f(x, y)}{\partial x \partial y} \approx \frac{f(x+1, y+1) - f(x-1, y+1) - f(x+1, y-1) + f(x-1, y-1)}{4}$$

# Discrétisation d'une EDP

- Discrétisation temporelle d'Euler = approximation par différence finie arrière de la dérivée par rapport au temps (membre de gauche)

$$\frac{\partial f}{\partial t} \approx \frac{f^{(t+1)} - f^{(t)}}{\Delta t}$$

- Notation : temps discret placé en exposant
- Mise sous forme d'un schéma explicite : calcul de  $f^{(t+1)}$  en fonction de  $f^{(t)}$
- Exemple avec l'équation de diffusion de la chaleur

$$\begin{aligned}\frac{\partial f}{\partial t} &= \nabla^2 f \\ \Rightarrow f^{(t+1)} &= f^{(t)} + \Delta t \nabla^2 f^{(t)}\end{aligned}$$

où  $\nabla^2 f^{(t)}$  est discrétisé (en espace) par différences finies

# Implémentation en C

- Pour les images en niveaux de gris, on considèrera une représentation en tableau 2D de réels (peu efficace, mais génère du code très lisible!)

...

```
typedef struct
{
    unsigned int width, height;
    float **pixels;
} ImageGrayscale;

void initImage(ImageGrayscale *, unsigned int, unsigned int);
void freeImage(ImageGrayscale *);
void copyImage(ImageGrayscale *, const ImageGrayscale *);
...
```

- Dans la fonction d'initialisation, on suppose que `pixels` est alloué de telle sorte que `pixels[x][y]` corresponde à  $f(x, y)$

# Implémentation en C : lissage Laplacien

- Discrétisation de l'opérateur Laplacien

$$\nabla^2 f(x, y) \approx f(x+1, y) + f(x-1, y) + f(x, y+1) + f(x, y-1) - 4f(x, y)$$

```
void smoothImageLaplacian(const ImageGrayscale *pImgInput,
                          ImageGrayscale *pImgOutput, float delta_t)
{
    unsigned int x, y;
    float **f, **g;

    initImage(pImgOutput, pImgInput->width, pImgInput->height);
    f = pImgInput->pixels;
    g = pImgOutput->pixels;
    ...
    for (y=1; y<pImgInput->height-1; y++)
        for (x=1; x<pImgInput->width-1; x++)
            g[x][y] = f[x][y] + delta_t*
                (f[x+1][y] + f[x-1][y] + f[x][y+1] + f[x][y-1] - 4*f[x][y]);
}
```

- Remarque : bords non traités
- A appeler dans une boucle jusqu'à vérification d'un critère d'arrêt



# Plan

## Des équations sur l'image...

Calcul différentiel et intégral sur les images

Equations aux dérivées partielles

Discrétisation et implémentation

## Méthodes variationnelles

Principe général

Exemple 1 : modèle de débruitage

Exemple 2 : modèle de contour actif

# Plan

Des équations sur l'image...

Méthodes variationnelles

Principe général

Exemple 1 : modèle de débruitage

Exemple 2 : modèle de contour actif

# Problème d'optimisation

- ▶ Le traitement à réaliser à partir de l'image est formulé comme un **problème d'optimisation**, qui comporte :
  - ▶ des donnée(s) : une ou plusieurs fonction(s) (dont l'image  $f$ )
  - ▶ des variable(s) : une ou plusieurs fonction(s) (notée  $u$  par défaut)
  - ▶ une fonction objective : une fonctionnelle  $J$  de  $u$  à minimiser
  - ▶ éventuellement, des contraintes : équation(s) ou inéquation(s) faisant intervenir  $u$
- ▶ Exemple : recherche d'une image lisse proche de  $f$  et nulle sur les bords

$$\min_{u \in F} \int_{\mathcal{D}} \underbrace{\|\nabla u(\mathbf{p})\|}_{\text{régularisation}} + \underbrace{\lambda(u(\mathbf{p}) - f(\mathbf{p}))^2}_{\text{attache aux données}} d\mathbf{p}$$

t.q.  $u(\mathbf{p}) = 0 \quad \forall \mathbf{p} \in \partial\mathcal{D}$

où  $F$  est un espace de fonctions vérifiant certaines propriétés sur  $\mathcal{D}$   
et  $\lambda \in \mathbb{R}^+$  est un paramètre de la fonctionnelle

## Remarques

- ▶ Le problème d'optimisation est de **dimension infinie**, car la recherche de la solution se fait dans un **espace de fonctions**
  - ▶ A l'inverse, dans les problèmes d'optimisation de dimension finie, on cherche un nombre fini de variables (exemple : optimisation discrète, problème linéaire simple, ...)
  - ▶ Exemple de problème d'optimisation discret en traitement d'images : champs de Markov  $\rightarrow$  une variable par pixel
- ▶ La **fonctionnelle** à minimiser (souvent appelée **énergie** ou **coût**) est la plupart du temps une intégrale d'un terme dépendant de  $f$ ,  $u$  et de leurs dérivées
- ▶ L'énergie est une traduction mathématique des propriétés recherchées de la ou des variable(s)
- ▶ **Difficulté** : savoir écrire mathématiquement les propriétés/phénomènes que l'on souhaite pénaliser (exemple : pénaliser la norme du gradient revient à encourager une fonction lisse)

## Optimisation de fonctionnelles : un exemple simple

- ▶ Existence de cas d'écoles, pour lesquels une solution analytique existe
- ▶ Exemple : trouver le plus court chemin (une courbe) allant d'un point  $\mathbf{a}$  à un point  $\mathbf{b}$  dans le plan continu  $\mathbb{R}^2$ 
  - ▶ Soit  $\mathcal{C}$  l'espace de fonction décrivant toutes les courbes planes possibles, de  $[0, 1]$  dans  $\mathbb{R}^2$
  - ▶ Fonction à déterminer : une courbe  $\gamma \in \mathcal{C}$
  - ▶ Fonctionnelle d'énergie  $J$  : la longueur de la courbe,  $J : \mathcal{C} \rightarrow \mathbb{R}$
  - ▶ Contraintes :  $\gamma(0) = \mathbf{a}$  et  $\gamma(1) = \mathbf{b}$
- ▶ En d'autres termes :

$$\min_{\gamma \in \mathcal{C}} \int_0^1 \left\| \frac{d\gamma(s)}{ds} \right\| ds \quad \text{t.q.} \quad \gamma(0) = \mathbf{a} \text{ et } \gamma(1) = \mathbf{b}$$

- ▶ Solutions triviales : segment de droite  $[\mathbf{a}\mathbf{b}]$ , mais démontrable par le calcul. Une solution possible est :

$$\gamma(s) = s\mathbf{b} + (1-s)\mathbf{a}$$

- ▶ Dans notre cas, les problèmes ne pourront jamais être résolus analytiquement ! → résolution numérique

# Principe

- ▶ Etude des extrema locaux de la fonctionnelle d'énergie à l'aide du **calcul des variations**
- ▶ Résolution numérique (le plus souvent itérative) pour atteindre un **minimum local** de l'énergie : méthode de **descente de gradient**
- ▶ En résumé, le traitement d'image par méthode variationnelle suit les étapes suivantes :
  1. Introduction d'une énergie
  2. Calcul des variations de l'énergie
  3. Formulation de l'EDP
  4. Discrétisation et implémentation de la descente de gradient de l'EDP
  5. Tests sur un ensemble d'images

# Extrema locaux

## Extrema d'une fonction d'une seule variable réelle

- ▶ Lorsqu'on cherche à minimiser une fonction  $\rho : \mathbb{R} \rightarrow \mathbb{R}$  par rapport à une variable réelle  $x$ ,

$$\min_{x \in \mathbb{R}} \rho(x)$$

la première étape consiste à étudier les extrema locaux de  $\rho$ , donc résoudre

$$\frac{\partial \rho}{\partial x} = 0$$

## Extrema d'une fonctionnelle

- ▶ Ici, on cherche à minimiser une fonctionnelle  $J : F \rightarrow \mathbb{R}$  par rapport à une fonction  $u \in F$

$$\min_{u \in F} J[u] = \int L \left( x, u(x), \frac{\partial u(x)}{\partial x} \right) dx$$

où  $F$  est l'espace des fonctions étudiées

- ▶ Besoin de caractériser les fonctions  $u$  entraînant un extremum local de  $J[u] \rightarrow$  nécessité d'étendre la notion de dérivée *classique* aux fonctionnelles

# Calcul des variations

- ▶ Admettons que  $J[u]$  soit dans un minimum local lorsque  $u = u_0$   
→ pour n'importe quelle infime perturbation  $\eta \in F$  ajoutée à  $u$ ,  
l'énergie augmentera :  $J[u_0 + \eta] > J[u_0] \forall \eta$
- ▶ On suppose que  $J$  est **différentiable**  $\forall u$
- ▶ Introduction d'une variation infinitésimale  $\eta$  et dérivation → **calcul des variations**
- ▶ On obtient la **variation première** de  $J$  en  $u$  pour une variation  $\eta$  :

$$\lim_{\epsilon \rightarrow 0} \frac{J[u + \epsilon\eta] - J[u]}{\epsilon} = \left. \frac{dJ[u + \epsilon\eta]}{d\epsilon} \right|_{\epsilon=0}$$

- ▶ Remarque : ressemble à une dérivée directionnelle



# Equation d'Euler-Lagrange

## Cas de fonctions d'une seule variable réelle

- ▶ L'espace  $F$  contient les fonctions  $u : \mathbb{R} \rightarrow \mathbb{R}$  de classe  $C^2$
- ▶ Soit la fonctionnelle  $J$  définie sur  $[a, b] \subset \mathbb{R}$ ,

$$J[u] = \int_a^b L(x, u(x), u'(x)) dx \quad \text{avec} \quad u'(x) = \frac{\partial u(x)}{\partial x}$$

- ▶ Par le calcul des variations, on peut montrer que si  $J[u]$  est un extremum local de  $J$ , alors l'**équation d'Euler-Lagrange** est vérifiée :

$$\frac{\partial L}{\partial u} - \frac{d}{dx} \left\{ \frac{\partial L}{\partial u'} \right\} = 0 \quad \forall x \in [a, b]$$

- ▶ Les dérivées partielles de  $L$  sont calculées en considérant  $x$ ,  $u$  et  $u'$  comme des variables indépendantes (par abus de notation,  $\frac{\partial L}{\partial u}$  et  $\frac{\partial L}{\partial u'}$  désignent les dérivées partielles de  $L$  par rapport à ses 2ème et 3ème paramètre)

# Equation d'Euler-Lagrange

## Cas de fonctions de plusieurs variables réelles

- ▶ L'espace  $F$  contient les fonctions  $u : \mathbb{R}^n \rightarrow \mathbb{R}$  de classe  $C^2$
- ▶ Un point est noté  $\mathbf{x} = [x_1 \ x_2 \ \dots \ x_n]$
- ▶ Soit la fonctionnelle  $J$  définie sur  $\mathcal{D} \subset \mathbb{R}^n$ ,

$$J[u] = \int_{\mathcal{D}} L(\mathbf{x}, u(\mathbf{x}), u_{x_1}(\mathbf{x}), u_{x_2}(\mathbf{x}), \dots, u_{x_n}(\mathbf{x})) d\mathbf{x}$$

$$\text{avec } u_{x_i}(\mathbf{x}) = \frac{\partial u(\mathbf{x})}{\partial x_i}$$

(autre écriture possible :  $L(\mathbf{x}, u(\mathbf{x}), \nabla u(\mathbf{x}))$ )

- ▶ Equation d'Euler-Lagrange correspondante :

$$\frac{\partial L}{\partial u} - \sum_{i=1}^n \frac{d}{dx_i} \left\{ \frac{\partial L}{\partial u_{x_i}} \right\} = 0 \quad \forall \mathbf{x} \in \mathcal{D}$$

# Dérivée fonctionnelle

- ▶ Le membre de gauche de l'équation d'Euler-Lagrange est appelé **dérivée fonctionnelle** de  $J$  par rapport à  $u$ .
- ▶ La dérivée fonctionnelle de

$$J[u] = \int_a^b L(x, u(x), u'(x)) dx$$

s'écrit

$$\frac{\delta J[u]}{\delta u} = \frac{\partial L}{\partial u} - \frac{d}{dx} \left\{ \frac{\partial L}{\partial u'} \right\}$$

- ▶ Intuition pour la minimisation numérique de  $J$  : résoudre itérativement l'équation d'Euler-Lagrange en chaque point  $x$   
→ à chaque itération, prendre la **direction opposée à la dérivée fonctionnelle** (principe de **descente de gradient**)

## Lien entre variation première et dérivée fonctionnelle

- Calculons la variation première de

$$J[u] = \int_a^b L(x, u(x), u'(x)) dx$$

pour une variation  $\eta$ . On obtient : (détail au tableau)

$$\left. \frac{dJ[u + \epsilon\eta]}{d\epsilon} \right|_{\epsilon=0} = \int_a^b \eta(x) \frac{\partial L}{\partial u} + \eta'(x) \frac{\partial L}{\partial u'} dx$$

- En intégrant par partie et en posant  $\eta(a) = 0$  et  $\eta(b) = 0$ , (détail au tableau)

$$\left. \frac{dJ[u + \epsilon\eta]}{d\epsilon} \right|_{\epsilon=0} = \int_a^b \underbrace{\left( \frac{\partial L}{\partial u} - \frac{d}{dx} \left\{ \frac{\partial L}{\partial u'} \right\} \right)}_{\text{dérivée fonctionnelle}} \eta(x) dx$$

## Lien entre dérivée fonctionnelle et variation première

- ▶ Si  $J[u]$  est un extremum local de  $J$ , alors sa variation première doit s'annuler quelle que soit la fonction  $\eta$

$$\left. \frac{dJ[u + \epsilon\eta]}{d\epsilon} \right|_{\epsilon=0} = \int_a^b \left( \frac{\partial L}{\partial u} - \frac{d}{dx} \left\{ \frac{\partial L}{\partial u'} \right\} \right) \eta(x) dx = 0 \quad \forall \eta$$

- ▶ Lemme fondamental du calcul des variations  $\rightarrow$  si la condition précédente est vraie, alors on a :

$$\frac{\delta J[u]}{\delta u} = \frac{\partial L}{\partial u} - \frac{d}{dx} \left\{ \frac{\partial L}{\partial u'} \right\} = 0 \quad \forall x \in [a, b]$$

- ▶ On retombe ainsi sur l'équation d'Euler-Lagrange

## Exercice

- ▶ Soit une fonction  $u : \mathbb{R} \rightarrow \mathbb{R}$  de classe  $C^2$  sur l'intervalle  $[a, b] \subset \mathbb{R}$
- ▶ Soit la fonctionnelle

$$J[u] = \int_a^b (u'(x))^2 + (u(x) - f(x))^2 dx$$

- ▶ Calculer la variation première de  $J$  pour une variation  $\eta$  (nulle en  $a$  et  $b$ ) et la dérivée fonctionnelle correspondante

# Exercice

- Soit une fonction  $u : \mathbb{R} \rightarrow \mathbb{R}$  de classe  $C^2$  sur l'intervalle  $[a, b] \subset \mathbb{R}$
- Soit la fonctionnelle

$$J[u] = \int_a^b (u'(x))^2 + (u(x) - f(x))^2 dx$$

- Calculer la variation première de  $J$  pour une variation  $\eta$  (nulle en  $a$  et  $b$ ) et la dérivée fonctionnelle correspondante

Solution : (les  $(x)$  sont parfois omis)

$$\begin{aligned} \left. \frac{dJ[u + \epsilon\eta]}{d\epsilon} \right|_{\epsilon=0} &= \int_a^b \frac{d}{d\epsilon} \{ (u' + \epsilon\eta')^2 + (u + \epsilon\eta - f)^2 \} \Big|_{\epsilon=0} dx \\ &= \int_a^b \{ 2\eta'(u' + \epsilon\eta') + 2\eta(u + \epsilon\eta - f) \} \Big|_{\epsilon=0} dx \\ &= \int_a^b 2\eta' u' + 2\eta(u - f) dx \\ &= \int_a^b (-2u''(x) + 2(u(x) - f(x)))\eta(x) dx \end{aligned}$$

$$\frac{\delta J[u]}{\delta u(x)} = 2(u(x) - f(x) - u''(x))$$

# Descente de gradient

- ▶ L'équation d'Euler-Lagrange ne peut être résolue analytiquement
- ▶ Fonctionnelle d'énergie souvent non-convexe → présence de nombreux minima locaux
- ▶ Introduction d'une EDP effectuant une **descente de gradient** de l'énergie :

$$\frac{\partial u(x, t)}{\partial t} = -\frac{\delta J[u]}{\delta u(x)} \quad \forall x$$

- ▶ Convergence attendue vers un minimum local relativement proche d'une solution initiale fournie  $u_0 = u(., 0)$
- ▶ Discrétisation temporelle d'Euler :

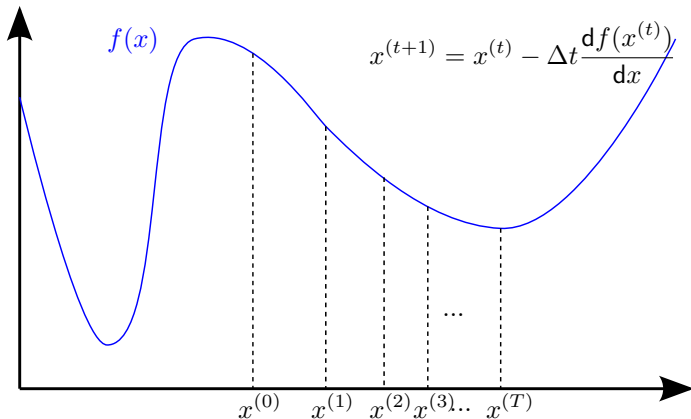
$$u^{(t+1)}(x) = u^{(t)}(x) - \Delta t \frac{\delta J[u^{(t)}]}{\delta u^{(t)}(x)} \quad \forall x$$

- ▶ Implémentation la plus simple : l'équation d'évolution est appliquée en parallèle **point par point**
- ▶ Nécessité de définir un critère de stabilité (= d'arrêt)
- ▶ Inconvénient : dépendance par rapport à l'initialisation



# Descente de gradient

- Illustration pour une fonction d'une variable réelle



- Difficile de représenter graphiquement le même processus pour une fonctionnelle !

# Plan

Des équations sur l'image...

Méthodes variationnelles

Principe général

Exemple 1 : modèle de débruitage

Exemple 2 : modèle de contour actif

# Modèle de débruitage

- ▶ Recherche d'une image débruitée (lisse et proche de l'image d'entrée)
- ▶ La fonction recherchée  $u$  a les mêmes ensembles de départ et d'arrivée que l'image :  $u : \mathcal{D} \rightarrow \mathbb{R}$
- ▶ Energie de débruitage :

$$J[u] = \int_{\mathcal{D}} \|\nabla u(\mathbf{p})\|^2 + (u(\mathbf{p}) - f(\mathbf{p}))^2 d\mathbf{p}$$

# Modèle de débruitage

- Recherche d'une image débruitée (lisse et proche de l'image d'entrée)
- La fonction recherchée  $u$  a les mêmes ensembles de départ et d'arrivée que l'image :  $u : \mathcal{D} \rightarrow \mathbb{R}$
- Energie de débruitage :

$$J[u] = \int_{\mathcal{D}} \|\nabla u(\mathbf{p})\|^2 + (u(\mathbf{p}) - f(\mathbf{p}))^2 d\mathbf{p}$$

Calcul des variations : (les  $(\mathbf{p})$  sont parfois omis)

$$\begin{aligned} \left. \frac{dJ[u + \epsilon\eta]}{d\epsilon} \right|_{\epsilon=0} &= \int_{\mathcal{D}} \frac{d}{d\epsilon} \left\{ \|\nabla u + \epsilon \nabla \eta\|^2 + (u + \epsilon\eta - f)^2 \right\} \Big|_{\epsilon=0} d\mathbf{p} \\ &= \int_{\mathcal{D}} \{ 2\nabla \eta \cdot (\nabla u + \epsilon \nabla \eta) + 2\eta(u + \epsilon\eta - f) \} \Big|_{\epsilon=0} d\mathbf{p} \\ &= \int_{\mathcal{D}} 2\nabla \eta \cdot \nabla u + 2\eta(u - f) d\mathbf{p} \\ &= \int_{\mathcal{D}} (-2\nabla^2 u(\mathbf{p}) + 2(u(\mathbf{p}) - f(\mathbf{p}))) \eta(\mathbf{p}) d\mathbf{p} \end{aligned}$$

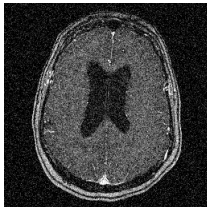
$$\frac{\delta J[u]}{\delta u(\mathbf{p})} = 2(u(\mathbf{p}) - f(\mathbf{p}) - \nabla^2 u(\mathbf{p}))$$

# Modèle de débruitage

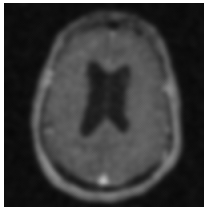
- Equation d'évolution discrétisée en temps (pour minimiser  $J$ ) :

$$\begin{aligned}u^{(t+1)}(\mathbf{p}) &= u^{(t)}(\mathbf{p}) - \Delta t \frac{\delta J[u^{(t)}]}{\delta u^{(t)}(\mathbf{p})} \\&= u^{(t)}(\mathbf{p}) + 2\Delta t \left[ \nabla^2 u^{(t)}(\mathbf{p}) - u^{(t)}(\mathbf{p}) + f(\mathbf{p}) \right]\end{aligned}$$

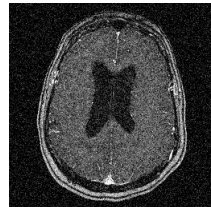
- Initialisation pertinente :  $u^{(0)}(\mathbf{p}) = f(\mathbf{p})$
- Exemple :



$u^{(0)}$



$u^{(t_{\text{end}})}$



Itérations

# Modèle de débruitage : implémentation

- ▶ Discrétisation spatiale de  
l'expression  $2 \left[ \nabla^2 u^{(t)}(\mathbf{p}) - u^{(t)}(\mathbf{p}) + f(\mathbf{p}) \right] \rightarrow$  vitesse en  $\mathbf{p}$
- ▶ Principe : calcul de la vitesse en chaque point, puis ajout de la vitesse en chaque point (l'algorithme est parallélisable)
- ▶ Choix du critère d'arrêt : nombre d'itérations fixé

```
void smoothImageVariational(const ImageGrayscale *pImgInput,
                           ImageGrayscale *imgOutput, float delta_t, int nb_iter)
{
    unsigned int x, y, t;
    float **f, **u, **s;
    ImageGrayscale imgU, imgSpeed;

    copyImage(&imgU, pImgInput);
    initImage(&imgSpeed, pImgInput->width, pImgInput->height);

    f = pImgInput->pixels;
    u = imgU.pixels;
    s = imgSpeed.pixels;
```

## Modèle de débruitage : implémentation

```
for (t=0; t<nb_iter; t++)
{
    for (y=1; y<pImgInput->height-1; y++)
        for (x=1; x<pImgInput->width-1; x++)
            s[x][y] = 2*((u[x+1][y] + u[x-1][y] + u[x][y+1] + u[x][y-1]
                        - 4*u[x][y]) - u[x][y] + f[x][y]);

    for (y=1; y<pImgInput->height-1; y++)
        for (x=1; x<pImgInput->width-1; x++)
            u[x][y] += delta_t*s[x][y];
}

copyImage(pImgOutput, &imgU);
freeImage(&imgU);
freeImage(&imgSpeed);
}
```

- Bords non traités dans cet exemple

# Plan

Des équations sur l'image...

Méthodes variationnelles

Principe général

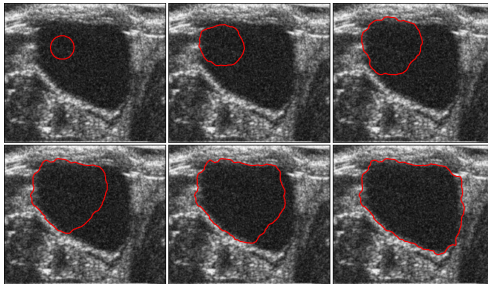
Exemple 1 : modèle de débruitage

Exemple 2 : modèle de contour actif



# Modèle de contour actif

- ▶ Principe : déformation d'une courbe de manière à segmenter (isoler) progressivement un objet en particulier dans l'image
- ▶ Initialisation fournie par l'utilisateur
- ▶ Connaissance *a priori* sur l'emplacement de l'objet
- ▶ Particulièrement utilisé en imagerie médicale

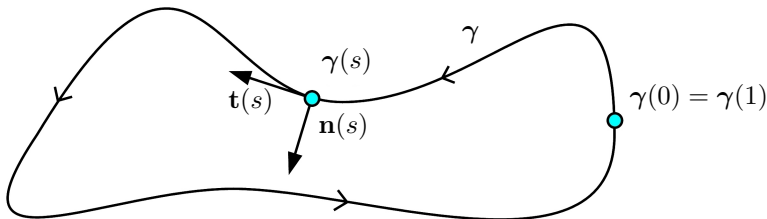


# Modèle de contour actif

- ▶ L'énergie dépend d'une courbe *superposée* à l'image
- ▶ Soit  $\gamma$  une courbe de paramètre  $s$  :

$$\begin{aligned}\gamma : [0, 1] &\rightarrow \mathbb{R}^2 \\ s &\mapsto [\gamma_1(s) \ \gamma_2(s)]^T\end{aligned}$$

- ▶ Courbe simple (sans intersection) et fermée :  $\gamma(0) = \gamma(1)$



$\mathbf{t}$  = tangente,  $\mathbf{n}$  = normale intérieure

## Modèle de contour actif

- ▶ Objectif : segmentation d'un objet → la courbe doit s'ajuster aux frontières de l'objet recherché
- ▶ Les contours de l'objet correspondent à des zones de fort gradient
- ▶ Recherche d'une courbe à la fois lisse et localisée sur les contours → l'énergie pénalise une courbe étirée ou située sur des zones où la norme du gradient est faible

$$J[\gamma] = \int_0^1 \alpha \frac{1}{2} \|\gamma'(s)\|^2 - \|\nabla f(\gamma(s))\| ds$$

avec  $\gamma'(s) = \frac{d\gamma(s)}{ds}$

- ▶ Version simplifiée du modèle original (qui comporte un terme dépendant de la dérivée seconde → pénalisation de la courbure)
- ▶ Le calcul des variations donne :

$$\frac{\delta J[\gamma]}{\delta \gamma(s)} = -\alpha \gamma''(s) - \nabla \|\nabla f(\gamma(s))\|$$

## Modèle de contour actif : discrétisation

- ▶ Equation d'évolution discrétisée en temps :

$$\gamma^{(t+1)}(s) = \gamma^{(t)}(s) + \Delta t \left[ \alpha \gamma^{(t)''}(s) + \nabla \left\| \nabla f(\gamma^{(t)}(s)) \right\| \right]$$

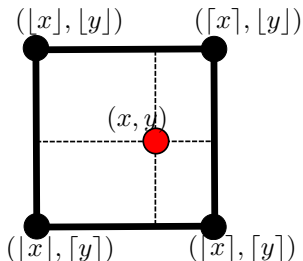
- ▶ Discrétisation spatiale  $\rightarrow$  échantillonnage de la courbe
- ▶ Représentation simple : polygone défini par une séquence de  $n$  sommets  $\{\mathbf{v}_1, \mathbf{v}_2, \dots, \mathbf{v}_n\}$
- ▶ Les coordonnées des sommets sont réelles :  $\mathbf{v}_i \in \mathbb{R}^2$
- ▶ Equation d'évolution discrétisée en temps et espace (sommet par sommet) :

$$\mathbf{v}_i^{(t+1)} = \mathbf{v}_i^{(t)} + \Delta t \left[ \alpha \left( \mathbf{v}_{i+1}^{(t)} + \mathbf{v}_{i-1}^{(t)} - 2\mathbf{v}_i^{(t)} \right) + \nabla \left\| \nabla f(\mathbf{v}_i^{(t)}) \right\| \right]$$

# Interpolation

- ▶ En pratique, la fonction image n'est donnée que pour des points de coordonnées entières (pixels)
- ▶ Pour approximer l'image aux points de coordonnées non-entières  
→ interpolation bilinéaire

$$\begin{aligned} f(x, y) &\approx (\lceil x \rceil - x)(\lceil y \rceil - y) f(\lfloor x \rfloor, \lfloor y \rfloor) \\ &+ (x - \lfloor x \rfloor)(\lceil y \rceil - y) f(\lceil x \rceil, \lfloor y \rfloor) \\ &+ (\lceil x \rceil - x)(y - \lfloor y \rfloor) f(\lfloor x \rfloor, \lceil y \rceil) \\ &+ (x - \lfloor x \rfloor)(y - \lfloor y \rfloor) f(\lceil x \rceil, \lceil y \rceil) \end{aligned}$$



## Modèle de contour actif : implémentation

- Besoin de l'interpolation bilinéaire pour estimer  $\|\nabla f\|$  et  $\nabla\|\nabla f\|$  aux coordonnées des sommets

```
float interpImage(const ImageGrayscale *pImg, float x, float y)
{
    unsigned int xi, yi, xs, ys;
    float **f;

    xi = (unsigned int)floor(x); yi = (unsigned int)floor(y);
    xs = xi+1; ys = yi+1;
    f = pImg->pixels;

    return (xs-x)*(ys-y)*f[xi][yi] + (x-xi)*(ys-y)*f[xs][yi]
        + (xs-x)*(y-yi)*f[xi][ys] + (x-xi)*(y-yi)*f[xs][ys];
}
```

# Modèle de contour actif : implémentation

- Besoin de calculer et conserver l'image  $\|\nabla f\|$

```
void gradientNormImage(const ImageGrayscale *pImgInput,
                      ImageGrayscale *pImgGrad)
{
    unsigned int x,y;
    float **f, **g;
    float der_x, der_y;

    initImage(pImgGrad, pImgInput->width, pImgInput->height);
    f = pImgInput->pixels;
    g = pImgGrad->pixels;

    ...
    for (y=1; y<pImgInput->height-1; y++)
        for (x=1; x<pImgInput->width-1; x++)
        {
            der_x = (f[x+1][y]-f[x-1][y])/2;
            der_y = (f[x][y+1]-f[x][y-1])/2;
            g[x][y] = sqrt(der_x*der_x + der_y*der_y);
        }
}
```

# Modèle de contour actif : implémentation

- Choix de représentation du contour : tableau de sommets

```
typedef struct {  
    float x, y;  
} Vertex;
```

```
typedef struct {  
    Vertex *arrayVertices;  
    unsigned int nbVertices;  
    float delta_t;  
    float alpha;  
    ImageGrayscale *pImgGrad;  
} ActiveContour;
```

```
void initActiveContourCircle(ActiveContour *, float, float, float);  
void moveActiveContour(ActiveContour *);  
void resampleActiveContour(ActiveContour *);
```

- Fonctions d'initialisation, d'évolution et de ré-échantillonnage (ajout et suppression de sommet afin de conserver une répartition homogène et suffisamment dense le long de la courbe)



# Modèle de contour actif : implémentation

## ► Fonction d'initialisation en cercle

```
void initActiveContourCircle(ActiveContour *pAC,  
                             float cx, float cy, float radius)  
{  
    unsigned int i;  
    float _pi, angle, perimeter;  
  
    _pi = 3.14159;  
    perimeter = 2*_pi*radius;  
    pAC->nbVertices = perimeter/3; /* One vertex every 3 pixels */  
    pAC->arrayVertices =  
        (Vertex *)malloc(pAC->nbVertices*sizeof(Vertex));  
  
    for (i=0; i<pAC->nbVertices; i++)  
    {  
        angle = (float)i/(float)pAC->nbVertices*2*_pi;  
        pAC->arrayVertices[i].x = cx + radius*cos(angle);  
        pAC->arrayVertices[i].y = cy + radius*sin(angle);  
    }  
}
```

## Modèle de contour actif : implémentation

```
void moveActiveContour(ActiveContour *pAC)
{
    unsigned int i, ip1, im1, n;
    Vertex *arraySpeed, *v;
    float x, y, grad_x, grad_y;

    arraySpeed =
        (Vertex *)malloc(pAC->nbVertices*sizeof(Vertex));
    v = pAC->arrayVertices;
    n = pAC->nbVertices;

    for (i=0; i<n; i++)
    {
        grad_x = (interpImage(pImgGrad, v[i].x+1.0, vi[i].y)
                  -interpImage(pImgGrad, v[i].x-1.0, vi[i].y))/2;
        grad_y = (interpImage(pImgGrad, v[i].x, vi[i].y+1.0)
                  -interpImage(pImgGrad, v[i].x, vi[i].y-1.0))/2;
```

## Modèle de contour actif : implémentation

```
im1 = (i+n-1)%n;
ip1 = (i+1)%n;

arraySpeed[i].x = alpha*(v[im1].x + v[ip1].x - 2*v[i].x) + grad_x;
arraySpeed[i].y = alpha*(v[im1].y + v[ip1].y - 2*v[i].y) + grad_y;
}

for (i=0; i<n; i++)
{
    v[i].x += delta_t*arraySpeed[i].x;
    v[i].y += delta_t*arraySpeed[i].y;
}

free(arraySpeed);
}
```

# Modèle de contour actif : implémentation

## ► Fonction principale

```
ImageGrayscale imgInput, imgGradNorm;  
ActiveContour ac;  
unsigned int t, nb_iter;  
  
... /* Load input image into imgInput */  
  
gradientNormImage(&imgInput, &imgGradNorm);  
ac.alpha = 0.5;  
ac.delta_t = 0.25;  
ac.pImgGrad = &imgGradNorm;  
  
initActiveContourCircle(&ac, ...);  
  
for (t=0; t<nb_iter; t++)  
{  
    moveActiveContour(&ac);  
    resampleActiveContour(&ac);  
}  
  
...
```